

Временная эволюция дифракционных характеристик голограмм в фотополимерах

В.В.Сысуев, Е.А.Довольнов, С.Н.Шарангович

Томский государственный университет систем управления и радиоэлектроники,
634050 , Томск пр. Ленина, 40, тел. 8(3822) 41-36-43, e-mail shr@svch.rk.tusur.ru

В настоящее время в мире активно ведутся работы по изучению фотополимеров. Для этого были созданы математические модели, основанные на уравнениях Лоренса-Лоренца и нелинейных соотношениях теории фотополимеризации, описывающие процессы записи и считывания голограмм и позволяющие оценить частотную селективность голограмм, записанных плоскими волнами и гауссовыми пучками света [1,2].

Эти модели содержат ряд параметров, таких, как время полимеризации, время диффузии мономера, максимальное приращение показателя преломления и другие, численное значение которых неизвестно. По имеющимся результатам экспериментов, полученным в других лабораториях, определить эти параметры оказалось невозможно из-за недостатка данных.

В данной работе приведены результаты экспериментальных исследований кинетики записи высокоэффективных голограмм в фотополимерных материалах и их сопоставление с ранее развитой теоретической моделью. Пространственно-временное распределение амплитуды записываемой решетки показателя преломления:

$$n_1(\tau) = n_{1p}(\tau) + n_{1i}(\tau), \quad (1)$$

где первое слагаемое n_{1p} дает прямой вклад в амплитуду решетки реакции полимеризации, тогда как второе n_{1i} - обусловлено вытеснением мономером инертной компоненты и пропорционально δn_i .

$$n_{1p}(\tau) = \delta n_p \left\{ f(\tau) + \int_0^{\tau_y} b \exp \left[-s \left\{ 1 - (1 + 2\tau'/\pi)^{-2} \right\} \right] f(\tau') d\tau' \right\}, \quad (2)$$

$$n_{1i}(\tau) = \delta n_i \int_0^{\tau_y} b \exp \left[-s \left\{ 1 - (1 + 2\tau'/\pi)^{-2} \right\} \right] f(\tau') d\tau', \quad (3)$$

$$f(\tau) = \frac{8}{3\pi} \frac{1}{(1 + 2\tau/\pi)^{14/5}} \int_0^{\tau} \frac{d\tau'}{(1 + 2\tau'/\pi)^{1/5}} \exp \left[- \int_{\tau'}^{\tau^{\odot}} b d\tau'' \right]. \quad (4)$$

Отметим, что при малых $\tau \ll 1$ величина δn_p будет

$$n_{1p} = \frac{8}{3\pi} \delta n_p \tau + \frac{4}{\pi^2} \left[\frac{\pi}{3} b \delta n_i - \frac{58}{15} \delta n_p \right] \tau^2, \quad (5)$$

тогда как n_{1i} является квадратичной функцией по τ . В области $\tau \gg 1$ временные зависимости n_{1p} и n_{1i} совпадают. Амплитуда решетки в стационарном режиме ($\tau \rightarrow \infty$) будет

Исследования проводились на автоматизированном стенде, сопряженном с ЭВМ и позволяющем записывать голограммы под различными углами, а также исследовать изменение их дифракционных характеристик в процессе записи. Экспериментальная установка состояла из следующих частей: одномодового Ge-Ne лазера типа ЛНГ-207 мощностью 1 мВт, двух затворов, интерферометра, поворотного стола, узла крепления образца с образцом фотополимера. Запись проводилась двумя пучками лазера, под различными углами (10, 20, 30, 40 градусов). Измерения для каждого угла записи проводились в шести образцах фотополимера, предоставленных ИОХ СО АН РФ (г. Новосибирск). После исследований образцы с записью были убраны на хранение.

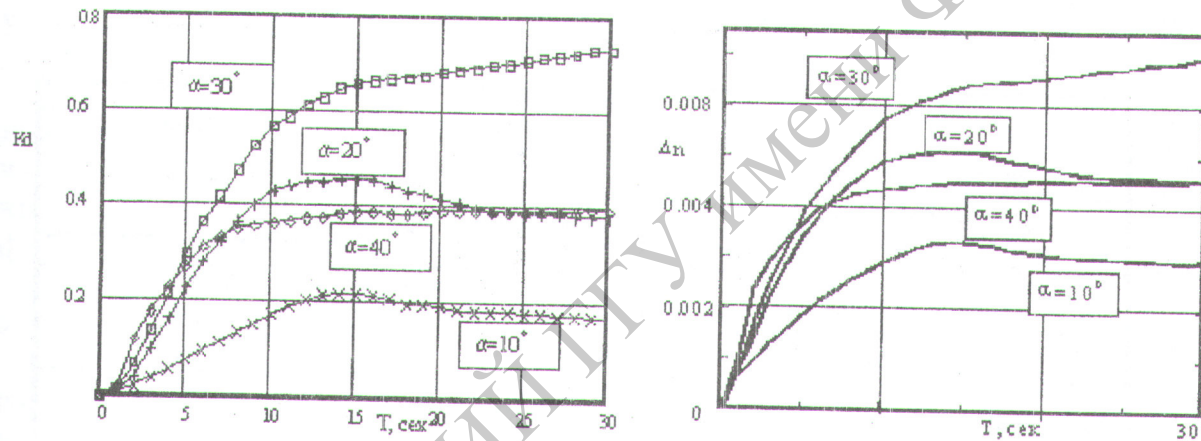


Рис. 1. Динамика коэффициента дифракции K_d (экспериментальные данные) и амплитуды решетки показателя преломления Δn при разных углах записи.

Графики динамики получены из графиков динамики коэффициента эффективности дифракции K_d путем пересчета по формуле Когельника. Систематическая погрешность состояла из ошибки 16-разрядного АЦП плюс ошибка шкалы измерения. Случайная ошибка измерений определялась для 6 опытов при коэффициенте Стьюдента $t = 3$ и доверительной вероятности $\alpha = 0.96$. Суммарная относительная погрешность измерений составила 5.2%. При малых эффективностях дифракции (менее 10%) имеется возможность получить параметры математической модели в первом приближении, как это показано в [1]. Полученные результаты приведены в таблице 1 (T_p - характеристическое время полимеризации, D_m - коэффициент диффузии, δn_p вклад в Δn за счет полимеризации и δn_i - за счет вытеснения инертной компоненты мономером).

Таблица 1

α , угол	$2 \delta n_p$	δn_{st}	T_p	b_1	b	δn_i	T_m , сек	D_m
10 °	2×10^{-2}	2.94×10^{-3}	21.33	-	-	-	-	-
20 °	2×10^{-2}	4.56×10^{-3}	24.38	0.86	0.55	2.91×10^{-3}	44.35	1.88×10^{-11}
30 °	2×10^{-2}	6.98×10^{-3}	28.47	1.69	1.07	1.2×10^{-3}	26.54	1.41×10^{-11}
40 °	2×10^{-2}	4.57×10^{-3}	17.52	0.95	0.61	1.22×10^{-3}	28.97	7.42×10^{-12}
среднее			23.46			1.78×10^{-3}	33.29	1.34×10^{-11}

Полученные данные качественно согласуются с результатами других исследований [3]. При подстановке полученных параметров в математическую модель динамики записи [1, 2] в области больших эффективностей дифракции (более 80%) расхождение экспериментальных и теоретических кривых составило не менее 24%. Для уточнения параметров математической модели мы воспользовались методом градиентного спуска, приняв данные таблицы 1 за первое приближение. Уточненные таким образом параметры математической модели приведены в таблице 2.

Таблица 2

α , угол	δn_p	T_p	δn_i	D_m
10 °	1.5×10^{-2}	21	1.78×10^{-3}	1×10^{-11}
20 °	2.4×10^{-2}	19	1.78×10^{-3}	0.2×10^{-11}
30 °	2.8×10^{-2}	20	1.78×10^{-3}	1.1×10^{-11}
40 °	1.8×10^{-2}	9	1.7×10^{-3}	1.3×10^{-11}
среднее	2.13×10^{-2}	17.25	1.76×10^{-3}	0.9×10^{-11}

На рисунке 2 показаны результаты совмещения экспериментальных и теоретических зависимостей кинетики записи, полученных на основе параметров табл.2. Как видно, среднеквадратическое расхождение составляет не более 4 %.

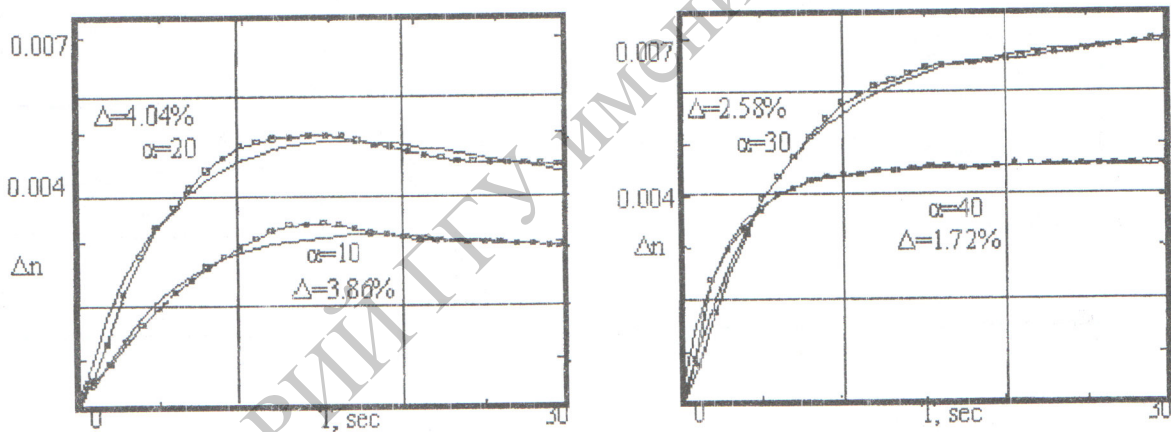


Рис. 2. Совмещение экспериментальных и расчетных (сплошные кривые) зависимостей кинетики записи голограмм в фотополимере при разных углах записи.

Таким образом, представленные результаты экспериментальных исследований и полученные на их основе параметры математической модели записи голографических решеток в фотополимерных материалах свидетельствуют о возможности использования развитой в работе [2] теории записи голограмм в голографических фотополимерных материалах как при малых, так и больших эффективностях дифракции. Полученные результаты могут быть использованы для оптимизации процессов записи голограмм в фотополимерах и при создании частотно-избирательных элементов спектральных мультиплексоров.

Через год после проведения первых экспериментов образцы с записью были вновь взяты для исследований па предмет изменения дифракционных характеристик записанных год назад голограмм. Каждый образец с голограммой исследовался 6 раз для получения достоверных результатов, которые затем пересчитывались в дифракционные характеристики: коэффициент дифракции $K_{\text{диф}}$ нормированный коэффициент дифракции $K_{\text{диф норм}}$ (для оценки угловой селективности). На рис.3 представлены графики зависимости $K_{\text{диф}}$ от угла считывания для голограмм, записанных под разными

углами в 2000 году (а), и исследуемых через год хранения т.е. в 2001 году (б).

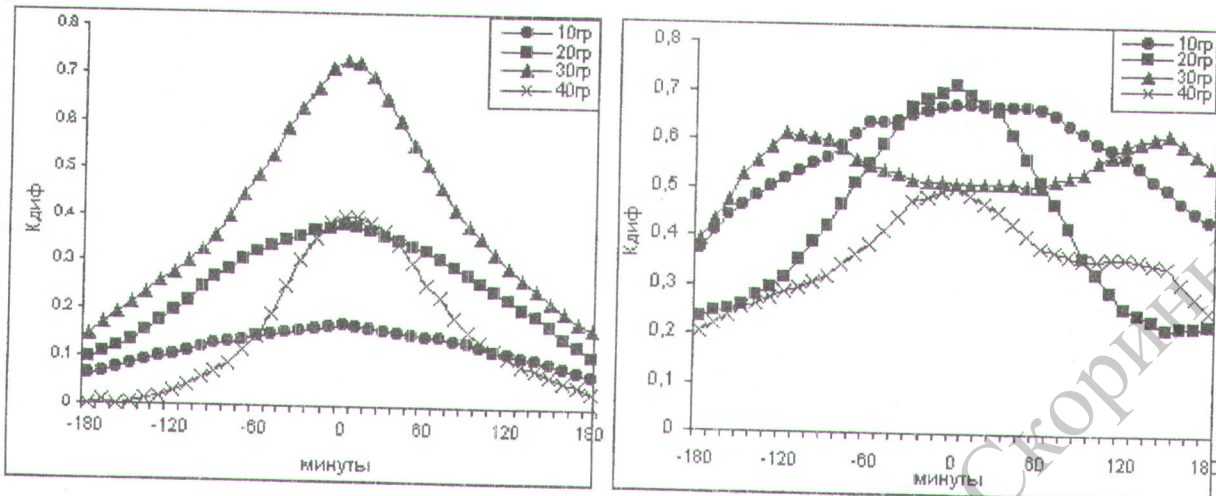


Рис. 3. Графики зависимости $K_{\text{диф}}$ от угла для голограмм, записанных под разными углами, полученные в 2000 году (а) и 2001 году (б).

Из полученных данных видно, что увеличилась эффективность дифракции. Это можно объяснить тем, что голограмма не была закреплена тепловым либо световым излучением, т.е. вне области записи в полимере остался неизрасходованный мономер, что стало причиной проявления эффектов оптического и темнового усиления голограммических решеток.

Так как запись голографической решетки складывается из двух составляющих, как это видно из (1), то данные эффекты можно объяснить следующим образом.

В процессе записи голограммы мономер полностью использовался в области голограммы. Так как область голограммы много меньше площади образца, то с течением времени при долговременном хранении мономер вследствие его градиента концентрации диффундирует в область записи. Вследствие этого в области записанной голографической решетки происходит перераспределение компонент фотополимерной композиции. В результате вытеснения инертной компоненты из минимумов в максимумы решетки увеличивается ее амплитуда, т.е. наблюдается **эффект темнового усиления**. Эффект оптического усиления наблюдается в процессе считывания голографических решеток. В этом случае при освещении голограммы одним пучком (процесс считывания) на голографической решетке происходит дифракция, в результате чего дифрагированный и прошедший пучки, интерфирируя, дозаписывают голограмму, используя диффундированный мономер.

Из рис. 3 (б) видно, что для угла записи 30° дифракционная характеристика имеет <двугорбый> вид, что можно объяснить нелинейностью амплитудно-фазового распределения результирующей голографической решетки.

Для оценки величины изменения угловой селективности голографических решеток на рис.4 представлены графики зависимости $K_{\text{дифнорм}}$ от угла считывания для голограмм, записанных под разными углами, полученные в 2000 году (а) и 2001 году (б).

Для практических приложений в WDM и DWDM устройствах важна полоса пропускания по длине волны, поэтому угловую селективность пересчитываем по формулам перехода в селективность по длине волны. Так как общий вид дифракционных характеристик остается неизменным, то результаты приведем в виде таблицы. В таблице 3 наглядно представлены изменения эффективности дифракции ($K_{\text{диф}}$) и полосы

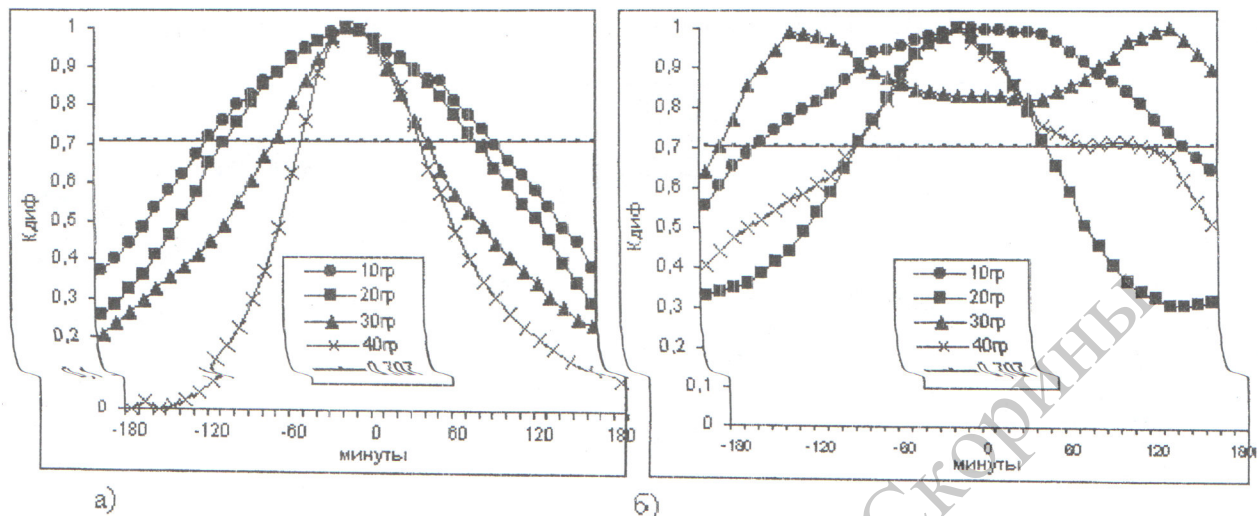


Рис. 4. Графики зависимости $K_{\text{дифнорм}}$ от угла для голограмм, записанных под разными углами, полученные в 2000 году (а) и 2001 году (б).

пропускания $\Delta\alpha$ и $\Delta\lambda$ (по углу и по длине волны), произошедшие за год хранения.

Таблица 3

α , угол	$K_{\text{диф}}$ 2000	$K_{\text{диф}}$ 2001	$\Delta\alpha, \text{мин.}$ 2000	$\Delta\lambda, \text{мкм}$ 2001
10 °	0.17	0.67	0.44	0.62
20 °	0.38	0.71	0.19	0.140
30 °	0.73	0.51	0.08	0.26
40 °	0.4	0.5	0.05	0.1

Литература

- [1] E.Kovalenko, S.Sharangovich, T.Zelenskaya // Synthetic metals. №83, 1996. P.293-300.
- [2] E.S. Kovalenko, S.N. Sharangovich, V.V. Sysuev // Proc/ SPIE. Paper № 3516-65 1998. P.456-464.
- [3] R.H.Wopschall, T.R.Pampalone, *Appl. Optics*, vol.11, N9, 1972. .P.2096-2097.